

การวิเคราะห์หาค่าตัวคุณลดกำลังสำหรับองค์อาคารคอนกรีตเสริมเหล็ก
ตามสภาพการก่อสร้างในกรุงเทพมหานคร

นายอัษฎร์ อมาตยกุล



ศูนย์วิทยบริการ
วิทยาภัณฑ์เป็นส่วนหนึ่งของการศึกษาตามหลักสูตรปริญญาวิศวกรรมศาสตรมหาบัณฑิต
ภาควิชาวิศวกรรมโยธา

นักพัฒนาวิทยาลัย จุฬาลงกรณ์มหาวิทยาลัย

พ.ศ. 2531

ISBN 974-569-370-7

ลิขสิทธิ์ของนักพัฒนาวิทยาลัย จุฬาลงกรณ์มหาวิทยาลัย

014374

๑๖๘๙๑๒๙๑

ANALYSIS OF CAPACITY REDUCTION FACTORS FOR REINFORCED CONCRETE
MEMBERS AS CONSTRUCTED IN BANGKOK METROPOLITAN AREA

Mr. Att AMATAYAKUL

A Thesis Submitted in Partial Fulfillment of the Requirements
for the Degree of Master of Engineering
Department of Civil Engineering
Graduate School
Chulalongkorn University

1988

ISBN 974-569-370-7

หัวข้อวิทยานิพนธ์ การวิเคราะห์หาค่าตัวคูณลดกำลังสำหรับองค์ความร้อนกีตเสริมเหล็ก
ตามสภาพการก่อสร้างในกรุงเทพมหานคร

โดย นายอภิชัย อมาตยกุล

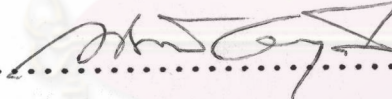
ภาควิชา วิศวกรรมโยธา

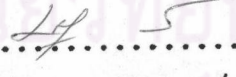
อาจารย์ที่ปรึกษา ศาสตราจารย์ ดร. เอกลักษณ์ ลัมสุวรรณ

บัณฑิตวิทยาลัย จุฬาลงกรณ์มหาวิทยาลัย อนุมัติให้บัณฑิตวิทยานิพนธ์นี้เป็นส่วนหนึ่ง
ของการศึกษาตามหลักสูตรปริญญามหาบัณฑิต

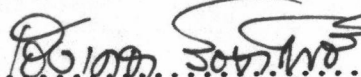
.......... คณบดี บัณฑิตวิทยาลัย
(ศาสตราจารย์ ดร. Narong Rattanakul)

คณะกรรมการสอบวิทยานิพนธ์

.......... ประธานกรรมการ
(ศาสตราจารย์ ดร.ทักษิณ เทพชาตรี)

.......... อาจารย์ที่ปรึกษา
(ศาสตราจารย์ ดร. เอกลักษณ์ ลัมสุวรรณ)

.......... กรรมการ
(รองศาสตราจารย์ ดร. สุธรรม สุริยะมงคล)

.......... กรรมการ
(ผู้ช่วยศาสตราจารย์ ดร. เรืองเดชา ราชมิท)



อักษร อมาตย์กุล : การวิเคราะห์หาค่าตัวคูณลดกำลังสำหรับองค์อาคารคอนกรีตเสริมเหล็ก
ตามสภาพการก่อสร้างในกรุงเทพมหานคร (ANALYSIS OF CAPACITY REDUCTION
FACTORS FOR REINFORCED CONCRETE MEMBERS AS CONSTRUCTED IN BANGKOK
METROPOLITAN AREA) อ.ที่ปรึกษา : ศ.ดร.เอกลิทธิ์ สืบสุวรรณ, 175 หน้า.

ในการวิเคราะห์กำลังของโครงสร้างคอนกรีตเสริมเหล็กโดยทฤษฎีกำลังประดับ จะต้องใช้ตัวคูณลดกำลังปรับค่า เพื่อให้สอดคล้องกับความแปรปรวนต่าง ๆ ทั้งที่เกี่ยวข้องกับวัสดุ ขนาด ฟื้มของการก่อสร้าง และทฤษฎีการคำนวณออกแบบ เพื่อให้ได้ความปลอดภัยที่พอเพียง การศึกษาวิจัยนี้ได้เก็บรวบรวมข้อมูลเกี่ยวกับตัวแปรที่มีผลโดยตรงต่อการคำนวณแรงขององค์อาคารคอนกรีตเสริมเหล็กที่ก่อสร้างในกรุงเทพมหานคร แล้วนำมาวิเคราะห์ทางสถิติ โดยถือข้อมูลตามสภาพการก่อสร้างที่เกิดขึ้นจริง หลังจากนั้นได้จำลองแบบข้อมูล โดยใช้วิธีการสุ่มของอนติ-คาร์โล ให้เป็นไปตามรูปแบบการกระจายที่เหมาะสม เพื่อให้ได้ค่าทางสถิติของกำลังรับแรงประดับต่าง ๆ การศึกษาวิเคราะห์เพื่อหาค่าตัวคูณลดกำลังรับแรงแต่ละประเภท ได้ใช้ทฤษฎีของความน่าเชื่อถือทางโครงสร้าง โดยยึดถือค่าดัชนีความปลอดภัยตามมาตรฐานการออกแบบสากล และยึดเกณฑ์ความคลาดเคลื่อนและความไม่แน่นอนตามการศึกษาของ Grant, Mirza และ MacGregor ซึ่งได้เสนอแนะเพื่อใช้ในมาตรฐานการออกแบบของ ACI

จากการศึกษาวิจัยข้อมูลสำหรับตัวแปรของกำลังการรับแรงพบว่า กำลังคลากของเหล็กเสริมที่ได้จริงมีค่ามากกว่าที่กำหนดประมาณ 15%-30% กำลังอัดของคอนกรีตที่สูงกว่า 200 กก./ซม.² จะมีค่าเฉลี่ยต่ำกว่าที่กำหนดประมาณ 20 กก./ซม.² ขนาดหน้าตัดขององค์อาคารจะมีความเบี่ยงเบนในทางบากประมาณ 0.2-0.5 ซม. ความลึกประลิททิกมีค่าน้อยกว่าที่กำหนดประมาณ 0.1-1.8 ซม.

การวิเคราะห์ตามทฤษฎีความน่าเชื่อถือทางโครงสร้างจะให้ค่าตัวคูณลดกำลังรับแรงดัดตามปริมาณเหล็กเสริมและกำลังวัสดุ โดยมีค่าประมาณ 0.77-0.95 ในขณะที่คูณลดกำลังรับแรงอัดและตัวคูณลดกำลังรับแรงเฉือน จะมีค่าประมาณ 0.60-0.70 และ 0.75-0.85 ตามลำดับ ค่าจากการวิเคราะห์ได้เปรียบเทียบกับผลการศึกษาในสภาพวัสดุ และการก่อสร้างในอเมริกาเหนือ พบว่าให้ค่าที่สอดคล้องกันในทุกกรณี ขององค์อาคาร เมื่อพิจารณาประกอบกับแนวโน้มการใช้กำลังวัสดุในการก่อสร้างแล้ว ค่าตัวคูณลดกำลังรับแรงดัด แรงอัด และแรงเฉือน ควรพิจารณาใช้ที่ 0.8, 0.65 และ 0.8 ตามลำดับ ทั้งนี้ยังมีได้พิจารณาตัวคูณสำหรับหนักบรรทุกประกอบด้วย

ATT AMATAYAKUL : ANALYSIS OF CAPACITY REDUCTION FACTORS FOR REINFORCED CONCRETE MEMBERS AS CONSTRUCTED IN BANGKOK METROPOLITAN AREA. THESIS ADVISOR : PROF.EKASIT LIMSUWAN,Ph.D. 175 pp.

In analysis of reinforced concrete members using ultimate strength theory, the capacity reduction factors are required to control some variations of materials, sizes workmanship and design method. In this study, the number of variables which would directly affect the strength capacity of reinforced concrete members were collected from several construction sites in Bangkok Metropolitan area. Monte-Carlo simulation method was employed in modelling some major random variables to obtain the statistical values for structural reliability analysis. The safety index and the prediction error as recommended by Grnat, Mirza and MacGregor and adopted by ACI Standard were used in the analysis.

The major variables which affect the strength of reinforced concrete members as collected have shown that the actual yield strength of reinforcing steel is 15-30% higher than the specified value. For concrete compressive strength higher than 200 kh/cm^2 , the average value is about 20 kg/cm^2 less than the specified value. The member cross-sections tend to about 0.2-0.5 cm larger than those shown on the construction drawings. The effective depths are 0.1-1.8 cm less than the specified values.

The capacity reduction factors obtained from reliability analysis were found to be 0.77-0.85 for shear. These capacity reduction factors have shown very good agreement with the study conducted for the materials and construction in North America. By considering the materials and construction qualities in Bangkok area, the capacity reduction factors of 0.80, 0.65 and 0.80 may be appropriate for flexure, compression and shear, respectively, without considering the load factors.

ภาควิชา วิศวกรรมโยธา
สาขาวิชา วิศวกรรมโยธา
ปีการศึกษา 2530

ลายมือชื่อนิสิต *อยู่อยู่*
ลายมือชื่ออาจารย์ที่ปรึกษา *สุรศักดิ์*

กิตติกรรมประกาศ

ขอทราบขอนพระคุณอาจารย์ที่ปรึกษาวิทยานิพนธ์ ศาสตราจารย์ ดร. เอกลักษณ์
 ล้มสุวรรณ ที่ได้กรุณาให้ความดูแลเอาใจใส่ให้คำแนะนำและคำปรึกษาต่าง ๆ และขอทราบพระ
 คุณท่านคณะกรรมการสอบวิทยานิพนธ์ทุกท่านอันประกอบไปด้วย ศ.ดร. ทักษิณ เทพชาตรี พศ.
 ดร. เริงเดชา รัชตโพธ์ และ รศ.ดร. สุธรรม สุริยมงคล นอกจากนี้ขอขอบพระคุณวิศวกรที่
 ควบคุมงานในสถานที่ก่อสร้างต่าง ๆ ที่ได้ออนุมัติและอำนวยความสะดวกในการเก็บข้อมูล โรง
 งานผลิตเหล็กที่ได้กรุณาให้ข้อมูลแก่ผู้เขียน เพื่อน ๆ ที่ได้ให้ความช่วยเหลือในการเก็บข้อมูล
 และจัดทำเอกสาร และผู้ที่จะขาดเสียมิได้คือ บิดามารดาที่ได้ให้กำลังใจและสนับสนุนการศึกษา
 มาโดยตลอด

ศูนย์วิทยทรัพยากร
 จุฬาลงกรณ์มหาวิทยาลัย

สารบัญ

หน้า

บทคัดย่อภาษาไทย	๔
บทคัดย่อภาษาอังกฤษ	๕
กิตติกรรมประกาศ	๖
สารบัญภาพ	๗
สารบัญตาราง	๘
สัญลักษณ์ที่ใช้	๙
บทที่	

1. บทนำ.....	1
1.1 ความนำ.....	1
1.2 วัตถุประสงค์.....	2
1.3 งานวิจัยที่ผ่านมา	2
1.4 ขอบข่ายของงานวิจัย.....	3
1.5 ขั้นตอนและวิธีดำเนินการวิจัย.....	3
1.6 ประโยชน์ที่คาดว่าจะได้รับ.....	4

2. ทฤษฎี

2.1 ทฤษฎีของความน่าจะเป็น	5
2.1.1 ตัวแปรสุ่มและการกระจายของความน่าจะเป็น	5
2.1.2 MAIN DESCRIPTORS ของตัวแปรสุ่ม	7
2.1.3 ฟังก์ชันของตัวแปรสุ่มและการกระจายของตัวแปรสุ่ม ..	8
2.2 ทฤษฎีทางสถิตि	10
2.2.1 การหาฟังก์ชันของการกระจายสุ่มและฟังก์ชันของ ความน่าจะเป็น	10
2.2.2 ฟังก์ชันของการกระจายสุ่ม	11

2.3 ทฤษฎีของความน่าเชื่อถือทางโครงสร้าง	13
2.3.1 หลักการทั่วไป	13
2.3.2 การวิเคราะห์โดยวิธีประมาณอันดับที่หนึ่ง.....	16
2.3.3 วิธีโน้มเน้นที่ส่องอันดับที่หนึ่ง.....	20
 3. ข้อมูลและการวิเคราะห์ข้อมูลทางสถิติ	25
3.1 กำลังที่จุดคลากของเหล็กเสริม	27
3.2 เส้นผ่านศูนย์กลางและพื้นที่หน้าตัดของเหล็กเสริม	28
3.3 กำลังอัดประลัยของคอนกรีต	30
3.4 ความกว้างของคาน	31
3.5 ความลึกของคาน	32
3.6 ความหนาของพื้น	33
3.7 ขนาดหน้าตัดของเสา	34
3.8 ความหนาของคอนกรีตหุ้มเหล็กเสริมด้านล่าง	34
3.9 ตัวแหน่งของเหล็กเสริมด้านบน	36
3.10 ระยะเรียงของเหล็กปลอกในคาน.....	37
3.11 ระยะเรียงของเหล็กเสริม ในพื้น.....	37
3.12 ความหนาของคอนกรีตหุ้มเหล็กเสริมในเสา.....	38
3.13 การเปรียบเทียบข้อมูลเกี่ยวกับตัวแปรรับแรง.....	38
 4. วิธีคำนวณกำลังขององค์อาคารประเภทต่างๆ	39
4.1 องค์อาคารรับแรงตัด	39
4.2 องค์อาคารรับแรงเฉือน	40
4.3 องค์อาคารรับแรงอัด	40
4.4 องค์อาคารรับแรงอัดร่วมกับแรงตัด	41

5. ความคลาดเคลื่อนของการคำนวณค่ากำลังขององค์อาคารประเภทต่างๆ	42
5.1 องค์อาคารรับแรงดัด รับแรงอัด และรับแรงดั้ดร่วมกับแรงอัด...	42
5.2 องค์อาคารรับแรงเฉือน.....	44
 6. การวิเคราะห์กำลังขององค์อาคารประเภทต่างๆ	45
6.1 องค์อาคารรับแรงดัด.....	45
6.2 องค์อาคารรับแรงอัด และองค์อาคารรับแรงอัดร่วมกับแรงดัด...	48
6.3 องค์อาคารรับแรงเฉือน.....	50
6.4 การเปรียบเทียบกำลังรับแรง.....	51
 7. การวิเคราะห์ค่าความนำ่จะเกิดการวีบติ และค่าดัชนีความปลดภัย....	53
7.1 องค์อาคารรับแรงตัด.....	
7.2 องค์อาคารรับแรงอัด และกำลังรับแรงอัดร่วมกับแรงดัด.....	
7.3 องค์อาคารรับแรงเฉือน.....	
 8. การวิเคราะห์ค่าตัวคูณลดกำลัง.....	58
8.1 กำลังรับแรงดัด.....	58
8.2 กำลังรับแรงอัด และกำลังรับแรงอัดร่วมกับแรงดัด.....	60
8.3 กำลังรับแรงเฉือน.....	61
8.4 การเปรียบเทียบค่าตัวคูณลดกำลัง.....	62
 9. บทสรุป	63
เอกสารอ้างอิง	66
ประวัติผู้เขียน	175

สารบัญภาพ

หน้า

รูปที่ 2.1	ฟังก์ชันความหนาแน่นของความน่าจะเป็นของตัวเลขสุ่มและตัวแปรสุ่ม.	68
รูปที่ 2.2	ฟังก์ชันของการกระจายสะสมของตัวเลขสุ่มและตัวแปรสุ่ม.....	68
รูปที่ 2.3	กราฟของฟังก์ชันความหนาแน่นของความน่าจะเป็นของตัวแปรสุ่มที่มีการกระจายแบบปกติ.....	69
รูปที่ 2.4	กราฟของฟังก์ชันความหนาแน่นของความน่าจะเป็นของตัวแปรสุ่มที่มีการกระจายแบบปกติ-มาตรฐาน.....	69
รูปที่ 2.5	กราฟของฟังก์ชันความหนาแน่นของความน่าจะเป็นของตัวแปรสุ่มที่มีการกระจายแบบล็อก-ปกติ.....	69
รูปที่ 2.6	ฟังก์ชันความความหนาแน่นของความน่าจะเป็นของ X และ Y.....	70
รูปที่ 2.7	ผลของความแตกต่างของค่าเฉลี่ยของ X และ Y.....	70
รูปที่ 2.8	ผลของ การกระจายของ X และ Y.....	70
รูปที่ 2.9	กราฟของฟังก์ชันการใช้งานแบบแกนปกติ.....	71
รูปที่ 2.10	กราฟของฟังก์ชันการใช้งานแบบแกนของตัวแปรลดทอน.....	71
รูปที่ 2.11	รูปแบบของกราฟฟังก์ชันการใช้งาน.....	72
รูปที่ 3.1	ค่าเฉลี่ยของกำลังที่จุดคลากของเหล็กเสริม.....	73
รูปที่ 3.2	สัมประสิทธิ์ความแปรปรวนของกำลังที่จุดคลากของเหล็กเสริม.....	74
รูปที่ 3.3	สัมประสิทธิ์ความแปรปรวนของเส้นผ่าศูนย์กลางของเหล็กเสริม....	74
รูปที่ 3.4	ค่าเฉลี่ยของกำลังอัดประลัยของคอนกรีต.....	75
รูปที่ 3.5	สัมประสิทธิ์ความแปรปรวนของกำลังอัดประลัยของคอนกรีต.....	76
รูปที่ 3.6	สัมประสิทธิ์ความแปรปรวนของความกว้างคาน.....	76
รูปที่ 3.7	สัมประสิทธิ์ความแปรปรวนของความลึกคาน.....	77
รูปที่ 3.8	สัมประสิทธิ์ความแปรปรวนของความหนาพื้น.....	78
รูปที่ 3.9	สัมประสิทธิ์ความแปรปรวนของขนาดหน้าตัดเสา.....	78

รูปที่ 3.10 สัมประสิทธิ์ความแปรปรวนของความหนาค่อนกรีตหุ้มเหล็กเสริม	
ต้านล่าง.....	79
รูปที่ 3.11 สัมประสิทธิ์ความแปรปรวนของตัวหน่่งของเหล็กเสริมต้านบาน.....	80
รูปที่ 3.12 สัมประสิทธิ์ความแปรปรวนของระยะเรียงของเหล็กปลอกในคาน....	81
รูปที่ 4.1 การกระจายของหน่วยการยึดหดตัวและหน่วยแรงบิดหน้าตัดขององค์	
อาคารรับแรงดด.....	82
รูปที่ 4.2 คนค่อนกรีตเหล็กรับแรงเฉือน.....	82
รูปที่ 4.3 การกระจายของหน่วยการยึดหดตัวและหน่วยแรงบิดหน้าตัดของเสา	
รับแรงอัดและแรงดัดร่วมกัน.....	82
รูปที่ 5.1 ค่าเฉลี่ยของอัตราส่วนกำลัง.....	83
รูปที่ 5.2 ค่าสัมประสิทธิ์ของความแปรปรวนของอัตราส่วนกำลัง.....	84
รูปที่ 5.3 ความสัมพันธ์ระหว่างกำลังรับแรงเฉือนที่ทดสอบได้และกำลังรับแรงเฉือน	
จากการคำนวณ สำหรับคนที่ไม่มีเหล็กเสริมรับแรงเฉือน.....	85
รูปที่ 5.4 ค่าเฉลี่ยและค่าเบี่ยงเบนมาตรฐานของอัตราส่วนระหว่างกำลัง	
รับแรงเฉือนที่ได้จากการทดสอบต่อกำลังที่ได้จากการคำนวณ	
สำหรับคนที่ไม่มีเหล็กเสริมรับแรงเฉือน.....	86
รูปที่ 5.5 ค่าเฉลี่ยและค่าเบี่ยงเบนมาตรฐานของอัตราส่วนระหว่างกำลัง	
รับแรงเฉือนที่ได้จากการทดสอบต่อกำลังที่ได้จากการคำนวณ	
สำหรับคนที่มีเหล็กเสริมรับแรงเฉือน.....	87
รูปที่ 6.1 อัตราส่วนระหว่างค่ากำลังรับแรงดัดเฉลี่ยต่อค่ากำลังที่ออกแบบ	
สำหรับการก่อสร้างที่มีบริษัทวิศวกรรมควบคุม.....	88
รูปที่ 6.2 อัตราส่วนระหว่างค่ากำลังรับแรงดัดเฉลี่ยต่อค่ากำลังที่ออกแบบ	
สำหรับการก่อสร้างที่มีวิศวกรรมควบคุม.....	89
รูปที่ 6.3 สัมประสิทธิ์ความแปรปรวนของกำลังรับแรงดัดสำหรับการก่อสร้าง	
ที่มีบริษัทวิศวกรรมควบคุม.....	90

รูปที่ 6.4	สัมประสิทธิ์ความแปรปรวนของกำลังรับแรงดัดสำหรับการก่อสร้าง ที่มีวิศวกรควบคุม.....	91
รูปที่ 6.5	เปรียบเทียบกำลังรับแรงดัดสำหรับการก่อสร้างที่มีบริษัทวิศวกรควบคุม และการการก่อสร้างที่มีวิศวกรควบคุม.....	92
รูปที่ 6.6	อัตราส่วนของกำลังเฉลี่ยของเสาต่อกำลังที่ออกแบบที่กำลังวัสดุต่ำ สำหรับการก่อสร้างที่มีบริษัทวิศวกรควบคุม.....	93
รูปที่ 6.7	อัตราส่วนของกำลังเฉลี่ยของเสาต่อกำลังที่ออกแบบที่กำลังวัสดุสูง สำหรับการก่อสร้างที่มีบริษัทวิศวกรควบคุม.....	94
รูปที่ 6.8	อัตราส่วนของกำลังเฉลี่ยของเสาต่อกำลังที่ออกแบบที่กำลังวัสดุต่ำ สำหรับการก่อสร้างที่มีวิศวกรควบคุม.....	95
รูปที่ 6.9	อัตราส่วนของกำลังเฉลี่ยของเสาต่อกำลังที่ออกแบบที่กำลังวัสดุสูง สำหรับการก่อสร้างที่มีวิศวกรควบคุม.....	96
รูปที่ 6.10	เปรียบเทียบอัตราส่วนระหว่างกำลังเฉลี่ยของเสาต่อกำลังที่ออกแบบ ที่ปริมาณเหล็กเสริมเท่ากับ 3.3%.....	97
รูปที่ 6.11	สัมประสิทธิ์ความแปรปรวนของกำลังเสา ที่กำลังวัสดุต่ำ สำหรับการก่อสร้างที่มีบริษัทวิศวกรควบคุม.....	98
รูปที่ 6.12	สัมประสิทธิ์ความแปรปรวนของกำลังเสา ที่กำลังวัสดุสูง สำหรับการก่อสร้างที่มีบริษัทวิศวกรควบคุม.....	99
รูปที่ 6.13	สัมประสิทธิ์ความแปรปรวนของกำลังเสา ที่กำลังวัสดุต่ำ สำหรับการก่อสร้างที่มีวิศวกรควบคุม.....	100
รูปที่ 6.14	สัมประสิทธิ์ความแปรปรวนของกำลังเสา ที่กำลังวัสดุสูง สำหรับการก่อสร้างที่มีวิศวกรควบคุม.....	101
รูปที่ 6.15	อัตราส่วนของกำลังรับแรงเฉือนเฉลี่ยต่อกำลังที่ออกแบบ สำหรับการก่อสร้างที่มีบริษัทวิศวกรควบคุม.....	102
รูปที่ 6.16	อัตราส่วนของกำลังรับแรงเฉือนเฉลี่ยต่อกำลังที่ออกแบบ สำหรับการก่อสร้างที่มีวิศวกรควบคุม.....	103

รูปที่ 6.17 เปรียบเทียบอัตราส่วนของกำลังรับแรงเฉือนเฉลี่ยค่ากำลังที่ออกแบบ สำหรับการก่อสร้างที่มีบริษัทวิศวกรรมควบคุมและการก่อสร้างที่มีวิศวกร ควบคุม.....	104
รูปที่ 6.18 สัมประสิทธิ์ความแปรปรวนของกำลังรับแรงเฉือน สำหรับการก่อสร้างที่มีบริษัทวิศวกรรมควบคุม.....	105
รูปที่ 6.19 สัมประสิทธิ์ความแปรปรวนของกำลังรับแรงเฉือน สำหรับการก่อสร้างที่มีวิศวกรควบคุม.....	106
รูปที่ 6.20 เปรียบเทียบสัมประสิทธิ์ความแปรปรวนของกำลังรับแรงเฉือน สำหรับการก่อสร้างที่มีบริษัทวิศวกรรมควบคุมและการก่อสร้างที่มีวิศวกร ควบคุม.....	107
รูปที่ 7.1 ค่าต้นที่ความปลอดภัยสำหรับองค์อาคารรับแรงดัด ในอาคารที่จอดรถของห้างสรรพสินค้า.....	108
รูปที่ 7.2 ค่าต้นที่ความปลอดภัยสำหรับองค์อาคารรับแรงดัด ในอาคารมหาวิทยาลัย.....	108
รูปที่ 7.3 ค่าต้นที่ความปลอดภัยสำหรับองค์อาคารรับแรงดัด ในอาคารสำนักงาน.....	109
รูปที่ 7.4 ค่าต้นที่ความปลอดภัยสำหรับองค์อาคารรับแรงดัด ในอาคารสถานีขนส่ง.....	109
รูปที่ 7.5 ค่าต้นที่ความปลอดภัยขององค์อาคารรับแรงดัดและองค์อาคารรับแรงอัด ร่วมกับแรงดัด ในอาคารที่จอดรถของห้างสรรพสินค้า.....	110
รูปที่ 7.6 ค่าต้นที่ความปลอดภัยขององค์อาคารรับแรงดัดและองค์อาคารรับแรงอัด ร่วมกับแรงดัด ในอาคารมหาวิทยาลัย.....	110
รูปที่ 7.7 ค่าต้นที่ความปลอดภัยขององค์อาคารรับแรงดัดและองค์อาคารรับแรงอัด ร่วมกับแรงดัด ในอาคารสำนักงาน.....	111
รูปที่ 7.8 ค่าต้นที่ความปลอดภัยขององค์อาคารรับแรงดัดและองค์อาคารรับแรงอัด ร่วมกับแรงดัด ในอาคารสถานีขนส่ง.....	111

รูปที่ 7.9 ค่าตัวชั้นความปลอดภัยขององค์อาคารรับแรงเฉือน ในอาคารที่จอดรถของห้างสรรพสินค้า.....	112
รูปที่ 7.10 ค่าตัวชั้นความปลอดภัยขององค์อาคารรับแรงเฉือน ในอาคารมหาวิทยาลัย.....	112
รูปที่ 7.11 ค่าตัวชั้นความปลอดภัยขององค์อาคารรับแรงเฉือน ในอาคารสำนักงาน.....	113
รูปที่ 7.12 ค่าตัวชั้นความปลอดภัยขององค์อาคารรับแรงเฉือน ในอาคารสถานีขนส่ง.....	113
รูปที่ 8.1 ค่าตัวคูณลดกำลังรับแรงตัด.....	114
รูปที่ 8.2 ค่าตัวคูณลดกำลังรับแรงอัด และแรงอัดร่วมกับแรงตัด (เสาปลอกเดี่ยว).....	115
รูปที่ 8.3 ค่าตัวคูณลดกำลังรับแรงอัด และแรงอัดร่วมกับแรงตัด (เสาปลอกเกลียว).....	116
รูปที่ 8.3 ค่าตัวคูณลดกำลังรับแรงเฉือน.....	117
รูปที่ 8.4 การเปรียบเทียบค่าตัวคูณลดกำลังรับแรงตัด.....	118
รูปที่ 8.5 การเปรียบเทียบค่าตัวคูณลดกำลังรับแรงอัด และแรงอัดร่วมกับแรงตัด	119
รูปที่ 8.6 การเปรียบเทียบค่าตัวคูณลดกำลังรับแรงเฉือน.....	120

จุฬาลงกรณ์มหาวิทยาลัย

สารบัญตาราง

หน้า

ตารางที่ 3.1 กำลังที่จุดคลากของเหล็กเสริมเกรด SR24	122
ตารางที่ 3.2 กำลังที่จุดคลากของเหล็กเสริมเกรด SD30.....	123
ตารางที่ 3.3 กำลังที่จุดคลากของเหล็กเสริมเกรด SD40.....	124
ตารางที่ 3.4 สรุบกำลังที่จุดคลากของเหล็กเสริมที่ใช้ในการวิเคราะห์.....	125
ตารางที่ 3.5 เส้นผ่านศูนย์กลางของเหล็กเสริมเกรด SR24.....	126
ตารางที่ 3.6 เส้นผ่านศูนย์กลางของเหล็กเสริมเกรด SD30.....	127
ตารางที่ 3.7 เส้นผ่านศูนย์กลางของเหล็กเสริมเกรด SD40.....	128
ตารางที่ 3.8 สรุปขนาดเส้นผ่านศูนย์กลางของเหล็กเสริมที่ใช้ในการวิเคราะห์.	129
ตารางที่ 3.9 กำลังอัดประลัยของค่อนกรีตสำหรับการก่อสร้างที่มีบริษัทวิศวกร ควบคุม.....	130
ตารางที่ 3.10 กำลังอัดประลัยของค่อนกรีตสำหรับการก่อสร้างที่มีวิศวกรควบคุม.	130
ตารางที่ 3.11 ค่าทางสถิติของความกว้างของคานสำหรับการก่อสร้างที่มีบริษัท วิศวกรควบคุม.....	131
ตารางที่ 3.12 ค่าทางสถิติของความกว้างของคานสำหรับการก่อสร้างที่มีวิศวกร ควบคุม.....	132
ตารางที่ 3.13 สรุปค่าทางสถิติของความกว้างของคานที่ใช้ในการวิเคราะห์ สำหรับการก่อสร้างที่มีบริษัทวิศวกรควบคุม.....	133
ตารางที่ 3.14 สรุปค่าทางสถิติของความกว้างของคานที่ใช้ในการวิเคราะห์ สำหรับการก่อสร้างที่มีวิศวกรควบคุม.....	133
ตารางที่ 3.15 ค่าทางสถิติของความลึกของคานสำหรับการก่อสร้างที่มีบริษัท วิศวกรควบคุม.....	134
ตารางที่ 3.16 ค่าทางสถิติของความลึกของคานสำหรับการก่อสร้างที่มีวิศวกร ควบคุม.....	135

ตารางที่ 3.17 สรุปค่าทางสถิติของความลึกของคนที่ใช้ในการวิเคราะห์ สำหรับการก่อสร้างที่มีบริษัทวิศวกรควบคุม.....	136
ตารางที่ 3.18 สรุปค่าทางสถิติของความลึกของคนที่ใช้ในการวิเคราะห์ สำหรับการก่อสร้างที่มีวิศวกรควบคุม.....	136
ตารางที่ 3.19 ค่าทางสถิติของความหนาของพื้นสำหรับการก่อสร้างที่มีบริษัท วิศวกรควบคุม.....	137
ตารางที่ 3.20 ค่าทางสถิติของความหนาของพื้นสำหรับการก่อสร้างที่มีวิศวกร ควบคุม.....	137
ตารางที่ 3.21 สรุปค่าทางสถิติของความหนาของพื้นที่ใช้ในการวิเคราะห์ สำหรับการก่อสร้างที่มีบริษัทวิศวกรควบคุม.....	138
ตารางที่ 3.22 สรุปค่าทางสถิติของความหนาของพื้นที่ใช้ในการวิเคราะห์ สำหรับการก่อสร้างที่มีวิศวกรควบคุม.....	138
ตารางที่ 3.23 ค่าทางสถิติของขนาดหน้าตัดของเสาสำหรับการก่อสร้างที่มีบริษัท วิศวกรควบคุม.....	139
ตารางที่ 3.24 ค่าทางสถิติของขนาดหน้าตัดของเสาสำหรับการก่อสร้างที่มีวิศวกร ควบคุม.....	139
ตารางที่ 3.25 สรุปค่าทางสถิติของขนาดหน้าตัดของเสาที่ใช้ในการวิเคราะห์ สำหรับการก่อสร้างที่มีบริษัทวิศวกรควบคุม.....	140
ตารางที่ 3.26 สรุปค่าทางสถิติของขนาดหน้าตัดของเสาที่ใช้ในการวิเคราะห์ สำหรับการก่อสร้างที่มีวิศวกรควบคุม.....	140
ตารางที่ 3.27 ค่าทางสถิติของความหนาของคอนกรีตหุ้มเหล็กเสริมด้านล่าง สำหรับการก่อสร้างที่มีบริษัทวิศวกรควบคุม.....	141
ตารางที่ 3.28 ค่าทางสถิติของความหนาของคอนกรีตหุ้มเหล็กเสริมด้านล่าง สำหรับการก่อที่มีวิศวกรควบคุม.....	142

ตารางที่ 3.29 สรุปค่าทางสถิติของความหนาของคอนกรีตหุ้มเหล็กเสริมด้านล่างที่ใช้ในการวิเคราะห์สำหรับการก่อสร้างที่มีบริษัทวิศวกรรมควบคุม..	143
ตารางที่ 3.30 สรุปค่าทางสถิติของความหนาของคอนกรีตหุ้มเหล็กเสริมด้านล่างที่ใช้ในการวิเคราะห์สำหรับการก่อสร้างที่มีวิศวกรรมควบคุม.....	143
ตารางที่ 3.31 ค่าทางสถิติของตำแหน่งของเหล็กเสริมด้านบนสำหรับการก่อสร้างที่มีบริษัทวิศวกรรมควบคุม.....	144
ตารางที่ 3.32 ค่าทางสถิติของตำแหน่งของเหล็กเสริมด้านบนสำหรับการก่อสร้างที่มีวิศวกรรมควบคุม.....	145
ตารางที่ 3.33 สรุปค่าทางสถิติของตำแหน่งของเหล็กเสริมด้านบนที่ใช้ในการวิเคราะห์สำหรับการก่อสร้างที่มีบริษัทวิศวกรรมควบคุม.....	146
ตารางที่ 3.34 สรุปค่าทางสถิติของตำแหน่งของเหล็กเสริมด้านบนที่ใช้ในการวิเคราะห์สำหรับการก่อสร้างที่มีวิศวกรรมควบคุม.....	147
ตารางที่ 3.35 ค่าทางสถิติของระยะเรียงของเหล็กปลอกในงานสำหรับการก่อสร้างที่มีบริษัทวิศวกรรมควบคุม.....	148
ตารางที่ 3.36 ค่าทางสถิติของระยะเรียงของเหล็กปลอกในงานสำหรับการก่อสร้างที่มีวิศวกรรมควบคุม.....	149
ตารางที่ 3.37 ค่าทางสถิติของระยะห่างของเหล็กเสริมในพื้นสำหรับการก่อสร้างที่มีบริษัทวิศวกรรมควบคุม.....	149
ตารางที่ 3.38 สรุปค่าทางสถิติของความหนาของคอนกรีตหุ้มเหล็กเสริมในเสา..	150
ตารางที่ 3.39 สรุปค่าทางสถิติของตัวแปรต่างๆที่ใช้ในการวิเคราะห์ตัวประกอบความปลอดภัย.....	151
ตารางที่ 3.40 การเบรียบเทียบข้อมูลเกี่ยวกับตัวแปรรับแรง.....	152
ตารางที่ 6.1 องค์อาคารรับแรงดัดที่เลือกใช้ในการวิเคราะห์ (1).....	154
ตารางที่ 6.2 องค์อาคารรับแรงดัดที่เลือกใช้ในการวิเคราะห์ (2).....	155
ตารางที่ 6.3 องค์อาคารรับแรงอัดร่วมกับแรงดัดที่เลือกใช้ในการวิเคราะห์ (1)	156
ตารางที่ 6.4 องค์อาคารรับแรงอัดร่วมกับแรงดัดที่เลือกใช้ในการวิเคราะห์ (2)	157

ตารางที่ 6.5 องค์อาคารรับแรงอัดร่วมกับแรงตัดที่เลือกใช้ในการวิเคราะห์ (3)	158
ตารางที่ 6.6 องค์อาคารรับแรงเฉือนที่เลือกใช้ในการวิเคราะห์.....	159
ตารางที่ 6.7 กำลังรับแรงตัดที่วิเคราะห์ได้ (1).....	160
ตารางที่ 6.8 กำลังรับแรงตัดที่วิเคราะห์ได้ (2).....	161
ตารางที่ 6.9 กำลังรับแรงอัดร่วมกับแรงตัดที่วิเคราะห์ได้ (1).....	162
ตารางที่ 6.10 กำลังรับแรงอัดร่วมกับแรงตัดที่วิเคราะห์ได้ (2).....	163
ตารางที่ 6.11 กำลังรับแรงอัดร่วมกับแรงตัดที่วิเคราะห์ได้ (3).....	164
ตารางที่ 6.12 กำลังรับแรงอัดร่วมกับแรงตัดที่วิเคราะห์ได้ (4).....	165
ตารางที่ 6.13 กำลังรับแรงเนื่องที่วิเคราะห์ได.....	166
ตารางที่ 6.14 การเปรียบเทียบกำลังรับแรง.....	167
ตารางที่ 8.1 การหาค่าตัวคูณลดกำลังรับขององค์อาคารรับแรงตัด.....	169
ตารางที่ 8.2 การหาค่าตัวคูณลดกำลังรับแรงอัด และรับแรงอัดร่วมกับแรงตัด $f'_c = 200 \text{ กก./ซม.}^2$ $f_y = 2400 \text{ กก./ซม.}^2$ $p = 0.033$ (เสาปลอกเดี่ยว).....	170
ตารางที่ 8.3 การหาค่าตัวคูณลดกำลังรับแรงอัด และรับแรงอัดร่วมกับแรงตัด $f'_c = 280 \text{ กก./ซม.}^2$ $f_y = 4000 \text{ กก./ซม.}^2$ $p = 0.033$ (เสาปลอกเดี่ยว).....	171
ตารางที่ 8.4 การหาค่าตัวคูณลดกำลังรับแรงอัด และรับแรงอัดร่วมกับแรงตัด $f'_c = 200 \text{ กก./ซม.}^2$ $f_y = 2400 \text{ กก./ซม.}^2$ $p = 0.033$ (เสาปลอกเกลี้ยว).....	172
ตารางที่ 8.5 การหาค่าตัวคูณลดกำลังรับแรงอัด และรับแรงอัดร่วมกับแรงตัด $f'_c = 280 \text{ กก./ซม.}^2$ $f_y = 4000 \text{ กก./ซม.}^2$ $p = 0.033$ (เสาปลอกเกลี้ยว).....	173
ตารางที่ 8.6 การหาค่าตัวคูณลดกำลังรับแรงเฉือน.....	174

สัญลักษณ์ที่ใช้

- A_s = ผู้ที่น้าตัดของเหล็กเสริมรับแรงดึง
- A'_s = ผู้ที่น้าตัดของเหล็กเสริมรับแรงอัด
- A_{st} = ผู้ที่น้าตัดของเหล็กในแนวขันทั้งหมดในเสา
- A_v = ผู้ที่น้าตัดของเหล็กเสริมรับแรงเฉือน
- a = $k_1 c$
- B = อัตราส่วนระหว่างกำลังที่ได้จริงต่อกำลังที่ได้จากการคำนวณโดยสมการที่ใช้ใน การออกแบบ
- \bar{B} = อัตราส่วนระหว่างกำลังเฉลี่ยที่ได้จริงต่อกำลังเฉลี่ยที่ได้จากการคำนวณโดยสมการ ที่ใช้ในการออกแบบ
- b = ความกว้างของคาน
- c = ระยะทางจากผิวรับแรงอัดถึงแกนลodic เกินของผู้ตัด
- C = ตัวคูณเพื่อเปลี่ยนจากน้ำหนักบรรทุกไปเป็นแรงที่กระทำกับองค์อาคาร
- C_c = แรงอัดจากดอนภารีต
- C_s = แรงอัดจากเหล็กเสริมรับแรงอัด
- D = น้ำหนักบรรทุกคงที่
- D' = แรงเนื่องจากน้ำหนักบรรทุกคงที่
- \bar{D} = น้ำหนักบรรทุกคงที่เฉลี่ย
- D_n = น้ำหนักบรรทุกคงที่ที่กำหนดให้ใช้ในการออกแบบ
- d = ความลึกประลักษณ์ผล
- d' = ระยะทางจากผิวรับแรงอัดถึงจุดศูนย์ถ่วงของเหล็กเสริมรับแรงอัด
- E_s = โมดูลัสยืดหยุ่นของเหล็กเสริม
- e = ระยะเขียงศูนย์ของแรงกระทำ
- e_b = ระยะเขียงศูนย์สมดุล
- $F_N(n)$ = ฟังก์ชันการกระจายสัมมูลของตัวเลขสุ่ม N
- $F_x(x)$ = ฟังก์ชันการกระจายสัมมูลของตัวแปรสุ่ม X

$F_y(y)$	= ฟังก์ชันการกระจายสัมมูลของตัวแปรสุ่ม Y
f'_c	= หน่วยแรงอัดประลัยของค่อนกรีต
f_s	= หน่วยแรงในเหล็กเสริมรับแรงดึง
f'_s	= หน่วยแรงในเหล็กเสริมรับแรงอัด
f_v	= กำลังคลากของเหล็กเสริม
$f_N(n)$	= ฟังก์ชันความหนาแน่นของความน่าจะเป็นของตัวเลขสุ่ม
$f_x(x)$	= ฟังก์ชันความหนาแน่นของความน่าจะเป็นของตัวแปรสุ่ม X
$f_y(y)$	= ฟังก์ชันความหนาแน่นของความน่าจะเป็นของตัวแปรสุ่ม Y
k_1	= มีค่าเท่ากับ 0.85 สำหรับหน่วยแรงอัดประลัยของค่อนกรีตที่ไม่เกิน 280 กก./ซม. ² และจะมีค่าลดลง 0.05 เมื่อค่าหน่วยแรงอัดประลัยเพิ่มขึ้นทุกๆ 70 กก./ซม. ²
L	= น้ำหนักบรรทุกจาร
L'	= แรงเนื่องจากน้ำหนักบรรทุกจาร
\bar{L}	= น้ำหนักบรรทุกจารเฉลี่ย
L_n	= น้ำหนักบรรทุกจารที่กำหนดให้ใช้ในการออกแบบ
M	= โมเมนต์ที่นำตัดที่ผิวน้ำ
M'_u	= โมเมนต์ประลัยของหน้าตัด
N	= ตัวเลขสุ่ม
$P(A)$	= ความน่าจะเกิดเหตุการณ์ A
$P_x(x)$	= ความน่าจะเป็นที่ X จะมีค่าเท่ากับ x
P'_u	= แรงอัดประลัยของหน้าตัด
p	= อัตราส่วนระหว่างปริมาณเหล็กเสริมรับแรงดึงต่อพื้นที่หน้าตัดประลัยมีผล ของค่อนกรีต
p'	= อัตราส่วนระหว่างปริมาณเหล็กเสริมรับแรงอัดต่อพื้นที่หน้าตัดประลัยมีผล ของค่อนกรีต
p_b	= อัตราส่วนของปริมาณเหล็กเสริมที่ภาวะสมดุลย์ต่อพื้นที่หน้าตัดประลัยมีผล ของค่อนกรีต

p_v	= อัตราส่วนของเหล็กเสริมรับแรงเฉือน
p_f	= ความนำจะเกิดการวินติ
R	= กำลังรับแรง
\bar{R}	= กำลังรับแรงเฉลี่ยที่คำนวณได้จากการที่ใช้ออกแบบ
\bar{R}_r	= ค่าเฉลี่ยของกำลังรับแรงที่ได้จริง = $\bar{R} \times$ อัตราส่วนกำลัง
R_n	= กำลังรับแรงที่ออกแบบไว้
s	= ระยะเรียงของเหล็กปลอกในคาน
T_s	= แรงดึงจากเหล็กเสริมรับแรงดึง
t	= ความลึกรวมของคาน
V	= แรงเฉือนที่หน้าตัดที่พิจารณา
v_c	= หน่วยแรงเฉือนที่รับโดยค่อนกรีต
v_s	= หน่วยแรงเฉือนที่รับโดยเหล็กเสริม
v_u	= หน่วยแรงเฉือนประดิษฐ์ของหน้าตัด
\bar{x}	= ค่าเฉลี่ยของตัวแปรสุ่ม X
\bar{x}_1^n	= ค่าเฉลี่ยของการกระจายแบบปกติ-เที่ยบเท่า ของตัวแปรสุ่ม X
\bar{x}_E	= ค่าเฉลี่ยของตัวแปร X โดยคำนวณจากการ
x_n	= ค่าของตัวแปร X ที่ใช้ในการออกแบบ
\bar{y}	= ค่าเฉลี่ยของตัวแปรสุ่ม Y
λ, κ	= ค่าพารามิเตอร์ของการกระจายแบบล็อก-ปกติ
δ_x	= ค่าเบี่ยงเบนมาตรฐานของตัวแปรสุ่ม X
δ_y	= ค่าเบี่ยงเบนมาตรฐานของตัวแปรสุ่ม Y
δ_B	= ค่าเบี่ยงเบนมาตรฐานของอัตราส่วน B
δ_x	= สัมประสิทธิ์ความแปรปรวนของตัวแปรสุ่ม X
δ_y	= สัมประสิทธิ์ความแปรปรวนของตัวแปรสุ่ม Y
δ_B	= สัมประสิทธิ์ความแปรปรวนของอัตราส่วน B
δ_R	= สัมประสิทธิ์ความแปรปรวนของกำลังขององค์อาคาร
Δ	= ความผิดพลาดในการคำนวณ

Δ_1	= ความผิดพลาดในการคำนวณเนื่องจากค่าของข้อมูลไม่เท่ากับค่าจริง
Δ_2	= ความผิดพลาดในการคำนวณค่าเฉลี่ย
Δ_R	= ความผิดพลาดในการคำนวณกำลังรับแรง
Ω_x	= ความไม่แน่นอนรวมของตัวแปรสุ่ม X
Ω_y	= ความไม่แน่นอนรวมของตัวแปรสุ่ม Y
Ω_R	= ความไม่แน่นอนรวมของกำลังรับแรง
γ_D	= ตัวคูณลดกำลังสำหรับน้ำหนักบรรทุกคงที่
γ_L	= ตัวคูณลดกำลังสำหรับน้ำหนักบรรทุกจาร
$\phi(-)$	= ค่าฝังซ่อนของความหนาแน่นของความนำจะเป็นสำหรับการกระจายแบบปกติ
$\Phi(-)$	= ค่าฝังซ่อนของการกระจายลักษณะสมสำหรับการกระจายแบบปกติ
β	= ค่าดัชนีความปลอดภัย
$\bar{\phi}$	= ค่าตัวคูณลดกำลังที่ใช้คูณกับค่ากำลังประลัยเฉลี่ย
ϕ_n	= ตัวคูณลดกำลังที่ใช้คูณกับค่ากำลังประลัยที่คำนวณได้ในการออกแบบ
α_{x_i}	= ໂຄໄเซ็นทิศทางนัยแกนของตัวแปรสุ่ม X _i

ศูนย์วิทยบริการ
จุฬาลงกรณ์มหาวิทยาลัย